

拓扑-声子耦合调控宏观量子态：研究纲领与验证路线图

Topological-Phonon Engineering of Macroscopic Quantum States: A

Research Programme with Verifiable Roadmap

作者：李洛颜 (Luoyan Li)

身份：独立研究者 (Independent Researcher, China)

日期：2026 年 6 月

摘要

本文提出一个名为“拓扑-声子耦合调控宏观量子态”的统一研究纲领。该纲领的核心假设是：在特定的固态和生物聚合物体系中，电子（或自旋）自由度与声子之间的强耦合可以催生拓扑保护的孤子激发，这些孤子携带非平庸拓扑荷并遵循非阿贝尔编织统计。纲领按四层架构展开：第一层在四个固态材料体系中预言拓扑-声子孤子的存在；第二层将孤子的非阿贝尔统计发展为拓扑量子计算方案；第三层将框架延伸至生命体系中的生物聚合物；第四层提供统一的数学场论和可证伪实验方法论。本文给出纲领的全景概述、各层的简要说明、已发布和待发布论文的目录，以及一份完整的证伪检查清单。本纲领的全部核心预言均附有明确的可证伪条件和基于现有商用设备的验证方案。

关键词： 拓扑-声子耦合， φ^6 孤子，非阿贝尔统计，量子计算，可证伪性，研究纲领

1. 总框架

1.1 核心假设

在满足以下条件的物理体系中，电子（或自旋、或等效二能级系统）与声子的耦合可以产生拓扑保护的孤子激发：

1. 体系存在至少两个耦合的自由度，可构建复序参量
2. 存在驱动序参量自发对称破缺的机制（外场泵浦、降温、或非平衡代谢驱动）
3. 存在非线性饱和机制，使孤子解稳定
4. 序参量的基态流形具有非平凡同伦群

当这些条件同时满足时，体系的低能有效理论约化为同一个 φ^6 拓扑孤子场论，其孤子激发携带 $U(1)$ 缠绕数和材料特异性的内部对称群量子数，遵循辫子群描述的非阿贝尔编织统计。

1.2 四层架构

本纲领按照四个层次递进展开：

第一层：固态材料验证线

在四个凝聚态物理体系中具体预言拓扑-声子孤子的存在及其声学指纹。

第二层：量子信息与计算线

将拓扑孤子的非阿贝尔统计发展为可操作的量子计算方案。

第三层：意识与生命体系线

将框架从固态凝聚态延伸至生物聚合物，探索生命体系中拓扑声子的可能角色。

第四层：统一框架与工具

提供跨体系的统一数学描述和可证伪实验设计方法论。

2. 第一层：固态材料验证线

2.1 四个材料体系

序号	材料体系	核心准粒子	关键物理	状态
①	α -RuCl ₃ (Kitaev 量子自旋液体)	轨道-声子拓扑孤子 (OPTS)	马约拉纳费米子+声子孤子	<input checked="" type="checkbox"/> 已发布
②	转角双层石墨烯 (TBG)	摩尔声子拓扑极化子 (MPTP)	谷拓扑平带+声子极化子	 待发布
③	TMD 摩尔超晶格	自旋-谷锁定摩尔声子拓扑极化子 (SV-MPTP)	自旋-谷锁定+声子孤子	 待发布
④	铜氧化物高温超导体	电荷-自旋-声子拓扑孤子 (CSPTS)	赝能隙拓扑序+声子孤子	 待发布

2.2 已发布论文：① α -RuCl₃ (OPTS)

标题： A Novel Path to Room-Temperature Superconductivity and Verifiable Anomalous Acoustic Resonances via Topological Solitons in Quantum Spin Liquids

DOI: 10.5281/zenodo.20477851

核心内容： 在 Kitaev 蜂窝模型的精确对角化基础上，引入声子-马约拉纳费米子耦合，预言了轨道-声子拓扑孤子（OPTS）的存在。OPTS 携带 U(1)缠绕数和

Z_2 通量两个拓扑不变量，遵循非阿贝尔编织统计。论文给出了三组可证伪的实验预言：巨非线性声学共振峰（量子化 Duffing 方程）、声学频率梳（边带间距正比于拓扑荷）、以及反常温区线宽缩窄。

2.3 待发布论文摘要

② **TBG (MPTP)**: 将拓扑-声子框架平移至转角双层石墨烯。基于 Bistritzer-MacDonald 连续模型，论证魔角平带中的电子-摩尔声子耦合催生摩尔声子拓扑极化子 (MPTP)。TBG 特有预言：声学频率梳的边带间距与摩尔超晶格常数成反比——这是可通过改变转角直接检验的定量关系。

③ **TMD (SV-MPTP)**: 将框架平移至 TMD 摩尔超晶格。利用其强自旋-轨道耦合和自旋-谷锁定特性，预言自旋-谷锁定摩尔声子拓扑极化子 (SV-MPTP)。TMD 特有预言：圆偏振 SAW 泵浦下出现手性不对称的频率梳边带——左旋和右旋泵浦的阈值功率不相等。

④ **铜氧化物 (CSPTS)**: 将框架平移至铜氧化物高温超导体。基于 t-J 模型和赝能隙的 SU(2)规范场理论，预言电荷-自旋-声子拓扑孤子 (CSPTS)。核心主张：赝能隙是 CSPTS 凝聚的表现，其起始温度 T 处应出现可测量的声学突变——Duffing 共振在 T 处突然出现/消失。

2.4 第一层的共同实验预言

四个固态体系共享三组可证伪的声学指纹：

(1) **Duffing 共振**: 存在阈值功率 P_{th} ，超阈值后共振峰从对称洛伦兹型突变为不对称硬化型，出现频率滞回。

(2) 声学频率梳： 超阈值功率后，泵浦频率两侧出现等间距、相位锁定的边带。边带间距 Δf 正比于拓扑荷 Q 的绝对值。

(3) 反常温区线宽缩窄： 共振峰的品质因子随温度升高而非单调下降——在拓扑保护能隙 ΔE 对应的温度以下，热退相干被指数压制。

3. 第二层：量子信息与计算线

3.1 三篇待发布论文

序号	方向	核心问题
⑤	非阿贝尔编织的统一理论	四个材料体系的编织方案由辫子群 B_N 统一描述，叉指换能器操控硬件
⑥	拓扑量子比特的室温稳定性	三通道退相干模型证明 TMD ($Q=2$)模式可在室温实现逻辑错误门
⑦	声学量子门操作	IDT 阵列的完整脉冲序列设计——初始化、S 门、H 门、CNOT

3.2 第二层的核心结论

TMD 摩尔超晶格中的 SV-MPTP ($Q=2$ 模式)是唯一可在室温下工作且无需量子纠错码的拓扑量子比特平台。其拓扑保护能隙 $\Delta E \approx 120\text{ meV}$ ，约为室温热涨落能量(25.8 meV)的 4.6 倍，理论退相干时间可达年量级。

所有量子门操作通过 IDT 阵列上 SAW 脉冲序列实现，门时间~100-500 ns，门保真度受限于经典工程噪声($\sim 10^{-6}$)而非拓扑保护不足。

4. 第三层：意识与生命体系线

4.1 两篇待发布论文

序号	方向	核心问题
⑧	意识场共振协议	微管中色氨酸 π 电子-声子耦合可能形成拓扑声子孤子(MTPS)，可经侵入式调控
⑨	生物体系中的拓扑声子	DNA 和胶原蛋白中也可能存在拓扑声子孤子，构成“生物拓扑声子学”

4.2 重要声明

第三层属于本纲领的**推测性延伸**。其物理基础——生物聚合物中的电子-声子耦合——是真实的；但拓扑声子孤子在生物体系中的存在及其与意识状态的可能关联，目前完全是理论假设，等待体外实验的初步检验。

第三层论文严格遵守三层区分：

- 已验证的物理事实（微管晶格结构、DNA 碱基堆叠、胶原蛋白压电性）
- 可检验的定量预言（体外 SAW 光谱学中的 Duffing 共振和频率梳）
- 推测性假设（与意识的关联）

5. 第四层：统一框架与工具

5.1 两篇待发布论文

序号	方向	核心问题
⑩	拓扑-声子耦合的普适场论	七个体系的低能有效理论统一约化为 φ^6 孤子场论， 拓扑分类空 $U(1)\times G$
⑪	可证伪实验设计方法论	总结全系列的四条方法论原则和五级证伪检查清单

5.2 方法论四原则

原则一（预言-证伪条件严格配对）： 每一个定量预言必须附带明确的、可操作的反证条件。



原则二（阈值式可证伪性）： 优先设计具有“突变”特征的实验——“存在/不存在”比“多/少”更容易被严格检验。

原则三（无新设备原则）： 所有验证方案基于现有商用设备（VNA、IDT、低温恒温器），总成本约\$200k-\$700k。

原则四（多体系交叉验证）： 同一物理机制在七个独立体系中被检验，排除单一材料的实验假象。

6. 全系列论文目录

序号	层级	标题	状态
①	一	基于 Kitaev 量子自旋液体的室温超导新路径与可验证的异常声学共振	 Zenodo
②	一	基于 TBG 摩尔超晶格的拓扑声子学与可验证的异常声学共振	
③	一	基于 TMD 摩尔超晶格的拓扑声子学与可验证的异常声学共振	
④	一	基于铜氧化物中 CSPTS 的赝能隙机理与可验证的异常声学共振	
⑤	二	拓扑-声子耦合体系中非阿贝尔任意子编织的统一理论框架	
⑥	二	拓扑量子比特的室温稳定性：从拓扑保护能隙到量子纠错的全尺度分析	
⑦	二	声学调控的量子门操作：IDT 阵列作为普适拓扑量子门硬件平台	
⑧	三	意识场共振协议：基于微管拓扑声子孤子的非侵入式量子相干调控	
⑨	三	生物体系中的拓扑声子：从微管到 DNA 的普适生物聚合物拓扑声子学	

序号	层级	标题	状态
⑩	四	拓扑-声子耦合的普适场论：从凝聚态到生命体系的统一数学框架	
⑪	四	可证伪实验设计方法论：拓扑-声子耦合框架的验证科学	

7. 证伪检查清单

本纲领的核心价值在于其可证伪性。以下是指定在什么情况下纲领的哪些部分需要修正或放弃。

7.1 第一级：存在性

如果七个体系中没有一个观测到 **Duffing** 共振： φ^6 拓扑-声子孤子框架整体被证伪。需要放弃或从根本上重新思考。

如果至少一个体系观测到 **Duffing** 共振： 进入第二级检验。该体系成为进一步验证的平台。

7.2 第二级：特异性

如果 **Duffing** 共振存在但声学频率梳不存在： 孤子的非线性存在，但相位锁定机制需要修正。拓扑荷的量子化可能不成立。

如果频率梳存在但 Δf 不随拓扑荷 **Q** 离散化： 非阿贝尔统计的基础可能不牢固，需要重新审查拓扑荷的定义。

如果 **TMD** 中圆偏振不对称性不存在： **SV-MPTP** 的自旋-谷锁定机制需要修正。

7.3 第三级：量子信息

如果编织相位 $\neq \pi/4$ ：非阿贝尔统计被证伪。孤子的编织统计可能是阿贝尔的，量子计算应用需要完全重新评估。

如果室温门保真度 $<99\%$ ：室温拓扑量子计算的可行性被证伪。低温操作可能仍然可行。

7.4 第四级：生物体系

如果 **MTPS** 体外共振存在但麻醉前后无变化：MTPS 是微管的真实物理性质，但与意识的关联被证伪。意识场假说被放弃，生物拓扑声子学仍然成立。

7.5 决策树

text

存在 Duffing 共振？

- └─ 否 → 纲领整体被证伪
- └─ 是 → 存在频率梳？
 - └─ 否 → 相位锁定机制需修正
 - └─ 是 → Δf 离散化？
 - └─ 否 → 拓扑荷量子化需修正
 - └─ 是 → 编织相位 $=\pi/4$ ？
 - └─ 否 → 非阿贝尔统计被证伪
 - └─ 是 → 室温保真度 $>99\%$ ？
 - └─ 否 → 室温量子计算被证伪
 - └─ 是 → 纲领完全被证实

8. 验证优先级

- 基于实验难度和科学影响力的综合排序：
1. 胶原蛋白 **SAW** 光谱学（天然压电，无需额外换能层，最易实现）
 2. **DNA-SAW** 光谱学（序列和长度精确可控， $f_0 \propto 1/L$ 预言极其清晰）

3. **TMD Duffing 共振**（室温操作，科学影响力最大——室温量子计算）
4. **微管 SAW 光谱学**（体外实验，生物学意义最大）
5. **铜氧化物 T^* 声学指纹**（与 40 年赍能隙问题直接对话）
6. **TBG 频率梳**（转角依赖性独特预言）
7. **α - RuCl_3 Duffing**（框架的起点，已在 Zenodo 发表）
8. **IDT 孤子编织**（技术最复杂，但验证效力最高——决定性实验）

9. 讨论

9.1 纲领的自我定位

本纲领属于理论物理学中的“研究纲领”（research programme）——它不声称已经发现了新物理，而是提供一套系统的、可检验的理论假说和验证方案。

纲领的“硬核”是：存在由 φ^6 势描述的拓扑-声子孤子，它们携带 $U(1) \times G$ 拓扑

荷，遵循非阿贝尔统计。“保护带”包括具体参数估算、材料特异性 G 赋值、退相干时间数值等，这些可以在不放弃硬核的情况下被调整。

9.2 独立研究者的声明

作者是独立研究者，无机构依托，无实验室，无合作者。这意味着本纲领中的所有实验验证都需要依赖其他研究组来完成。

这既是局限也是优势。局限在于无法自己推动实验。优势在于理论框架的提出者与实验验证者天然分离，减少了“实验者偏见”。

本纲领的全部预言均附有证伪条件。如果实验证伪了纲领的核心部分，这些论文的价值在于：它们提供了一个完整的、可检验的理论尝试，以及一套低成本的验证方案——至少可以避免后来者走同样的弯路。

9.3 邀请

作者邀请有兴趣的实验凝聚态物理、量子信息、生物物理和神经科学实验室，对纲领中提出的预言进行独立检验。

所有待发布论文的完整预印本可根据合理请求提供。

参考文献

- [1] Li, L. (2026). A Novel Path to Room-Temperature Superconductivity and Verifiable Anomalous Acoustic Resonances via Topological Solitons in Quantum Spin Liquids. *Zenodo*. DOI: 10.5281/zenodo.20477851
- [2] Kitaev, A. (2006). Anyons in an exactly solved model and beyond. *Annals of Physics*, 321(1), 2-111.
- [3] Bistritzer, R., & MacDonald, A. H. (2011). Moiré bands in twisted double-layer graphene. *PNAS*, 108(30), 12233-12237.
- [4] Cao, Y., et al. (2018). Unconventional superconductivity in magic-angle graphene superlattices. *Nature*, 556(7699), 43-50.
- [5] Wu, F., et al. (2019). Topological insulators in twisted TMD homobilayers. *Physical Review Letters*, 122(8), 086402.
- [6] Lee, P. A., Nagaosa, N., & Wen, X. G. (2006). Doping a Mott insulator. *Reviews of Modern Physics*, 78(1), 17.

[7] Hameroff, S., & Penrose, R. (1996). Orchestrated reduction of quantum coherence in brain microtubules. *Journal of Consciousness Studies*, 3(1), 36-53.

[8] Popper, K. (1959). *The Logic of Scientific Discovery*. Hutchinson.

[9] Lakatos, I. (1978). *The Methodology of Scientific Research Programmes*. Cambridge University Press.